

# VI-SLAM 系统初始化闭式可解性分析

张谦

2020 年 3 月 12 日

## 目录

<b>1</b>	<b>系统模型</b>	<b>2</b>
<b>2</b>	<b>闭式解方程</b>	<b>5</b>
<b>3</b>	<b>可解性分析: Unbiased Case</b>	<b>5</b>
3.1	Planar Case . . . . .	5
3.2	Linear Case . . . . .	5
3.3	图像帧数小于等于 2 . . . . .	5
3.4	图像帧数等于 3 . . . . .	5
3.5	图像帧数大于等于 4 . . . . .	5
3.6	Constant Acceleration . . . . .	5
<b>4</b>	<b>可解性分析: Biased Case</b>	<b>5</b>
4.1	图像帧数小于等于 3 . . . . .	5
4.2	图像帧数等于 4 . . . . .	5
4.3	图像帧数大于等于 5 . . . . .	5
<b>5</b>	<b>Gyroscope Bias 估计</b>	<b>5</b>
<b>6</b>	<b>Modified MK 闭式解</b>	<b>5</b>

# 1 系统模型

由 VI-SLAM 系统可观性分析可知，在给定视觉和 IMU 观测后，body 系的全局平移和重力方向旋转 yaw 角不可观，body 系的速度、重力和绝对尺度是可观的。分析 VI-SLAM 系统初始化时的闭式可解性，亦即分析在一段时间内，在不同条件下可观变量的可解性：（1）运动轨迹和状态；（2）地图点数量和观测图像上的分布；（3）相机图像帧数。

为简化分析，不考虑相机和 IMU 之间的外参，即假设相机和 IMU 位姿重合。在该系统中，四元数表示旋转采用 Hamilton 形式。坐标系约定：全局坐标系用  $G$  表示，Camera 坐标系用  $C$  表示，IMU 坐标系用  $I$  表示，地图点用  $f$  表示；相机、IMU 和地图点表示在某个坐标系下，则该坐标系符号写在对应变量符号的左上角，变量标识写在变量符号的右下角，例如  ${}^G\mathbf{p}_I$  表示 IMU 系（body 系）原点在全局坐标系中的位置（平移）， ${}^G\mathbf{v}_I$  表示 IMU 系在全局坐标系下的速度， ${}^G\mathbf{q}_I$  表示从全局坐标系旋转到 IMU 系的单位四元数，由于采用 Hamilton 形式，旋转均是由  $I$  系到  $G$  系旋转，与 JPL 表示方式相反； ${}^G\mathbf{p}_{f_i}$  表示第  $i$  个地图点在  $G$  系下的坐标。

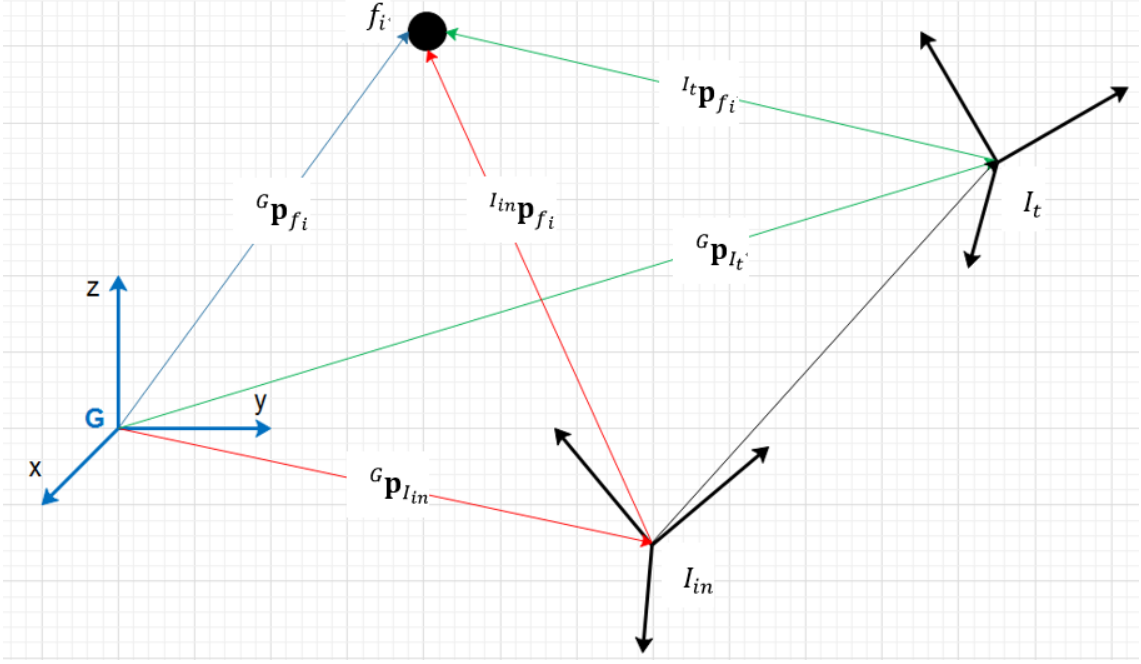


图 1: 几何关系

陀螺仪测量  ${}^I\omega_m$  和加速度计测量  ${}^I\mathbf{a}_m$  模型为：

$${}^I\omega_m(t) = {}^I\omega(t) + \mathbf{b}_g(t) + \mathbf{n}_g(t) \quad (1)$$

$${}^I\mathbf{a}_m(t) = \mathbf{C}^T({}^G\mathbf{q}_I(t))({}^G\mathbf{a}_I(t) - {}^G\mathbf{g}) + \mathbf{b}_a(t) + \mathbf{n}_a(t) \quad (2)$$

其中  $\mathbf{C}(\mathbf{q})$  表示四元数对应的旋转矩阵。在分析可解性时，若不考虑噪声影响，则有，

$${}^I\omega_m(t) = {}^I\omega(t) + \mathbf{b}_g(t) \quad (3)$$

$${}^G\mathbf{a}_I(t) = \mathbf{C}({}^G\mathbf{q}_I(t))({}^I\mathbf{a}_m(t) - \mathbf{b}_a(t)) + {}^G\mathbf{g} \quad (4)$$

现分析时间段  $[t_{in}, t_{fin}]$  内的可解性, 如图1所示, 从  $t_{in}$  到  $t \in [t_{in}, t_{fin}]$  时刻的平移几何关系可表示为,

$$\begin{aligned}
{}^G\mathbf{p}_I(t) &= {}^G\mathbf{p}_I(t_{in}) + {}^G\mathbf{v}_I(t_{in})\Delta t + \int_{t_{in}}^t {}^G\mathbf{a}_I(\tau) d\tau^2 \\
&= {}^G\mathbf{p}_I(t_{in}) + {}^G\mathbf{v}_I(t_{in})\Delta t + \int_{t_{in}}^t (\mathbf{C}({}^G\mathbf{q}_I(\tau))({}^I\mathbf{a}_m(\tau) - \mathbf{b}_a(\tau)) + {}^G\mathbf{g}) d\tau^2 \\
&= {}^G\mathbf{p}_I(t_{in}) + {}^G\mathbf{v}_I(t_{in})\Delta t + \frac{1}{2} {}^G\mathbf{g} \Delta t^2 + \int_{t_{in}}^t \mathbf{C}({}^G\mathbf{q}_I(\tau))({}^I\mathbf{a}_m(\tau) - \mathbf{b}_a(\tau)) d\tau^2 \\
&= {}^G\mathbf{p}_I(t_{in}) + {}^G\mathbf{v}_I(t_{in})\Delta t + \frac{1}{2} {}^G\mathbf{g} \Delta t^2 + \mathbf{C}({}^G\mathbf{q}_I(t_{in}))\mathbf{C}^T({}^G\mathbf{q}_I(t_{in})) \int_{t_{in}}^t \mathbf{C}({}^G\mathbf{q}_I(\tau))({}^I\mathbf{a}_m(\tau) - \mathbf{b}_a(\tau)) d\tau^2 \\
&= {}^G\mathbf{p}_I(t_{in}) + {}^G\mathbf{v}_I(t_{in})\Delta t + \frac{1}{2} {}^G\mathbf{g} \Delta t^2 + \mathbf{C}({}^G\mathbf{q}_I(t_{in})) \int_{t_{in}}^t \mathbf{C}^T({}^G\mathbf{q}_I(t_{in}))\mathbf{C}({}^G\mathbf{q}_I(\tau))({}^I\mathbf{a}_m(\tau) - \mathbf{b}_a(\tau)) d\tau^2 \\
&= {}^G\mathbf{p}_I(t_{in}) + {}^G\mathbf{v}_I(t_{in})\Delta t + \frac{1}{2} {}^G\mathbf{g} \Delta t^2 + \mathbf{C}({}^G\mathbf{q}_I(t_{in})) \int_{t_{in}}^t \mathbf{C}({}^{I_{in}}\mathbf{q}_I(\tau))({}^I\mathbf{a}_m(\tau) - \mathbf{b}_a(\tau)) d\tau^2 \\
&= {}^G\mathbf{p}_I(t_{in}) + {}^G\mathbf{v}_I(t_{in})\Delta t + \frac{1}{2} {}^G\mathbf{g} \Delta t^2 \\
&\quad + \mathbf{C}({}^G\mathbf{q}_I(t_{in}))(\int_{t_{in}}^t \mathbf{C}({}^{I_{in}}\mathbf{q}_I(\tau)) {}^I\mathbf{a}_m(\tau) d\tau^2 - \int_{t_{in}}^t \mathbf{C}({}^{I_{in}}\mathbf{q}_I(\tau))\mathbf{b}_a(\tau) d\tau^2)
\end{aligned} \tag{5}$$

假设在积分区间内, 加速度计 bias 为常量, 则有,

$$\begin{aligned}
{}^G\mathbf{p}_I(t) &= {}^G\mathbf{p}_I(t_{in}) + {}^G\mathbf{v}_I(t_{in})\Delta t + \frac{1}{2} {}^G\mathbf{g} \Delta t^2 \\
&\quad + \mathbf{C}({}^G\mathbf{q}_I(t_{in}))(\int_{t_{in}}^t \mathbf{C}({}^{I_{in}}\mathbf{q}_I(\tau)) {}^I\mathbf{a}_m(\tau) d\tau^2 - \int_{t_{in}}^t \mathbf{C}({}^{I_{in}}\mathbf{q}_I(\tau)) d\tau^2 \mathbf{B}) \\
&= {}^G\mathbf{p}_I(t_{in}) + {}^G\mathbf{v}_I(t_{in})\Delta t + \frac{1}{2} {}^G\mathbf{g} \Delta t^2 + \mathbf{C}({}^G\mathbf{q}_I(t_{in}))({}^{I_{in}}\mathbf{S}_I(t) - {}^{I_{in}}\Gamma_I(t) \mathbf{B})
\end{aligned} \tag{6}$$

其中

$${}^{I_{in}}\mathbf{S}_I(t) = \int_{t_{in}}^t \mathbf{C}({}^{I_{in}}\mathbf{q}_I(\tau)) {}^I\mathbf{a}_m(\tau) d\tau^2 \tag{7}$$

$${}^{I_{in}}\Gamma_I(t) = \int_{t_{in}}^t \mathbf{C}({}^{I_{in}}\mathbf{q}_I(\tau)) d\tau^2 \tag{8}$$

且  ${}^{I_{in}}\mathbf{S}_I(t)$  和  ${}^{I_{in}}\Gamma_I(t)$  可由加速度计和陀螺仪提供的测量积分得到。

先假设有  $N$  个地图点被同时观测到,  ${}^G\mathbf{p}_{f_i}, i = 1, \dots, N$ , 表示在第  $t$  时刻的相机坐标系下为  ${}^I_t\mathbf{p}_{f_i}$ , 则有,

$${}^G\mathbf{p}_{f_i} = {}^G\mathbf{p}_I(t) + \mathbf{C}({}^G\mathbf{q}_I(t_{in}))\mathbf{C}({}^{I_{in}}\mathbf{q}_I(t)) {}^I_t\mathbf{p}_{f_i} \tag{9}$$

若上式中  $t = t_{in}$ , 则有,

$${}^G\mathbf{p}_{f_i} = {}^G\mathbf{p}_I(t_{in}) + \mathbf{C}({}^G\mathbf{q}_I(t_{in})) {}^{I_{in}}\mathbf{p}_{f_i} \tag{10}$$

将 (6) 和 (10) 带入 (9), 得到,

$$\begin{aligned}
{}^G\mathbf{p}_I(t_{in}) + \mathbf{C}({}^G\mathbf{q}_I(t_{in})) {}^{I_{in}}\mathbf{p}_{f_i} &= {}^G\mathbf{p}_I(t_{in}) + {}^G\mathbf{v}_I(t_{in})\Delta t + \frac{1}{2} {}^G\mathbf{g} \Delta t^2 + \mathbf{C}({}^G\mathbf{q}_I(t_{in}))({}^{I_{in}}\mathbf{S}_I(t) - {}^{I_{in}}\Gamma_I(t) \mathbf{B}) \\
&\quad + \mathbf{C}({}^G\mathbf{q}_I(t_{in}))\mathbf{C}({}^{I_{in}}\mathbf{q}_I(t)) {}^I_t\mathbf{p}_{f_i} \\
\Leftrightarrow \mathbf{C}({}^G\mathbf{q}_I(t_{in})) {}^{I_{in}}\mathbf{p}_{f_i} &= {}^G\mathbf{v}_I(t_{in})\Delta t + \frac{1}{2} {}^G\mathbf{g} \Delta t^2 + \mathbf{C}({}^G\mathbf{q}_I(t_{in}))({}^{I_{in}}\mathbf{S}_I(t) - {}^{I_{in}}\Gamma_I(t) \mathbf{B}) \\
&\quad + \mathbf{C}({}^G\mathbf{q}_I(t_{in}))\mathbf{C}({}^{I_{in}}\mathbf{q}_I(t)) {}^I_t\mathbf{p}_{f_i}
\end{aligned} \tag{11}$$

两边同时乘以  $\mathbf{C}^T({}^G\mathbf{q}_I(t_{in}))$ , 得到,

$$\begin{aligned}
{}^{I_{in}}\mathbf{p}_{f_i} &= \mathbf{C}^T({}^G\mathbf{q}_I(t_{in}))({}^G\mathbf{v}_I(t_{in})\Delta t + \frac{1}{2} {}^G\mathbf{g} \Delta t^2 + \mathbf{C}({}^G\mathbf{q}_I(t_{in}))({}^{I_{in}}\mathbf{S}_I(t) - {}^{I_{in}}\Gamma_I(t) \mathbf{B})) + \mathbf{C}({}^{I_{in}}\mathbf{q}_I(t)) {}^I_t\mathbf{p}_{f_i} \\
\Leftrightarrow \mathbf{C}({}^{I_{in}}\mathbf{q}_I(t)) {}^I_t\mathbf{p}_{f_i} &= {}^{I_{in}}\mathbf{p}_{f_i} - {}^{I_{in}}\mathbf{v}_I \Delta t - \frac{1}{2} {}^{I_{in}}\mathbf{g} \Delta t^2 - {}^{I_{in}}\mathbf{S}_I(t) + {}^{I_{in}}\Gamma_I(t) \mathbf{B}
\end{aligned} \tag{12}$$

其中

$${}^{I_{in}}\mathbf{v}_I = \mathbf{C}^T({}^G\mathbf{q}_I(t_{in})) {}^G\mathbf{v}_I(t_{in}) \tag{13}$$

$${}^{I_{in}}\mathbf{g} = \mathbf{C}^T({}^G\mathbf{q}_I(t_{in})) {}^G\mathbf{g} \tag{14}$$

假设在时间段  $t_{in}, t_{fin}$  内, 共有  $M$  帧图像:  $t_1 = t_{in} < t_2 < \dots < t_M = t_{fin}$ , 且  $N$  个地图点均被这  $M$  帧图像观测到。为简化书写, 利用如下简写:

$$\begin{aligned}
\mathbf{p}_j^i &\triangleq \mathbf{C}({}^{I_{in}}\mathbf{q}_I(t_j)) {}^I_{t_j}\mathbf{p}_{f_i} \\
\mathbf{p}^i &\triangleq {}^{I_{in}}\mathbf{p}_{f_i} \\
\mathbf{v} &\triangleq {}^{I_{in}}\mathbf{v}_I \\
\mathbf{g} &\triangleq {}^{I_{in}}\mathbf{g} \\
\Gamma_j &\triangleq {}^{I_{in}}\Gamma_I(t_j) \\
\mathbf{S}_j &\triangleq {}^{I_{in}}\mathbf{S}_I(t_j)
\end{aligned} \tag{15}$$

其中  $i = 1, 2, \dots, N$ ;  $j = 1, 2, \dots, M$ 。另外, 用  $\mu_j^i$  表示  $\mathbf{P}_j^i$  的单位向量, 则有  $\mathbf{P}_j^i = \lambda_j^i \mu_j^i$ 。不失一般性, 可令  $t_{in} = 0$ , 则有  $\Delta t = t$ 。几何关系式 (12) 在每个图像帧时刻  $t_j$ , 可表示为

$$\mathbf{P}^i - \mathbf{V}t_j - \frac{1}{2}\mathbf{G}t_j^2 + \Gamma_j\mathbf{B} - \lambda_j^i \mu_j^i = \mathbf{S}_j \quad (16)$$

另外当  $j = 1$  时,  $t_j = t_1 = t_{in} = 0$ , 则有  $\mathbf{P}^i = \mathbf{P}_1^i = \lambda_1^i \mu_1^i$ 。几何关系 (16) 可进一步表示为,

$$-\mathbf{V}t_j - \frac{1}{2}\mathbf{G}t_j^2 + \Gamma_j\mathbf{B} + \lambda_1^i \mu_1^i - \lambda_j^i \mu_j^i = \mathbf{S}_j \quad (17)$$

对于第  $t_1$  帧和第  $t_j$  帧, 第 1 个地图点和第  $i$  个地图点, 有如下几何关系:

$$\lambda_1^1 \mu_1^1 - \lambda_j^1 \mu_j^1 = \lambda_1^i \mu_1^i - \lambda_j^i \mu_j^i \quad (18)$$

综合几何关系 (17) 和 (18), 可最终得到如下关系式子,

$$\begin{cases} -\mathbf{V}t_j - \frac{1}{2}\mathbf{G}t_j^2 + \Gamma_j\mathbf{B} + \lambda_1^1 \mu_1^1 - \lambda_j^1 \mu_j^1 = \mathbf{S}_j \\ \lambda_1^1 \mu_1^1 - \lambda_j^1 \mu_j^1 - \lambda_1^i \mu_1^i + \lambda_j^i \mu_j^i = \mathbf{0}_3 \end{cases} \quad (19)$$

其中  $j = 2, 3, \dots, M$ ;  $i = 2, 3, \dots, N$ 。分析 VI-SLAM 系统初始化的闭式可解性, 亦即分析在几何关系 (19) 下, 变量  $\mathbf{P}_j^i, \mathbf{V}, \mathbf{G}, \mathbf{B}$  的可解性。其中 (19) 可提供  $3 * (M - 1) * N$  个方程, 未知变量有  $M * N + 6$  维 (不考虑 bias) 或  $M * N + 9$  维 (只考虑加速度计 bias)。

定义如下变量和矩阵: 考虑加速度计 bias 未知变量,

$$\mathbf{X} \triangleq [\mathbf{G}^T, \mathbf{V}^T, \mathbf{B}^T, \lambda_1^1, \dots, \lambda_1^N, \dots, \lambda_M^1, \dots, \lambda_M^N]^T \quad (20)$$

不考虑 bias 未知变量,

$$\mathbf{X} \triangleq [\mathbf{G}^T, \mathbf{V}^T, \lambda_1^1, \dots, \lambda_1^N, \dots, \lambda_M^1, \dots, \lambda_M^N]^T \quad (21)$$

IMU 测量相关积分变量,

$$\mathbf{S} \triangleq [\mathbf{S}_2^T, \mathbf{0}_{1 \times 3}, \dots, \mathbf{0}_{1 \times 3}, \mathbf{S}_3^T, \mathbf{0}_{1 \times 3}, \dots, \mathbf{0}_{1 \times 3}, \mathbf{S}_M^T, \mathbf{0}_{1 \times 3}, \dots, \mathbf{0}_{1 \times 3}]^T \quad (22)$$

几何关系矩阵,

$$\Xi = \begin{bmatrix} \mathbf{T}_2 & \mathbf{K}_2 & \Gamma_2 & \mu_1^1 & \mathbf{0}_{3 \times 1} & \dots & \mathbf{0}_{3 \times 1} & -\mu_2^1 & \mathbf{0}_{3 \times 1} & \dots & \mathbf{0}_{3 \times 1} & \dots & \dots & \mathbf{0}_{3 \times 1} \\ \mathbf{0}_{3 \times 3} & \mathbf{0}_{3 \times 3} & \mathbf{0}_{3 \times 3} & \mu_1^1 & -\mu_1^2 & \dots & \mathbf{0}_{3 \times 1} & -\mu_2^1 & \mu_2^2 & \dots & \mathbf{0}_{3 \times 1} & \dots & \dots & \mathbf{0}_{3 \times 1} \\ \dots & \dots & \dots & \dots & \dots & \dots & \dots & \dots & \dots & \dots & \dots & \dots & \dots & \dots \\ \mathbf{0}_{3 \times 3} & \mathbf{0}_{3 \times 3} & \mathbf{0}_{3 \times 3} & \mu_1^1 & \mathbf{0}_{3 \times 1} & \dots & -\mu_1^N & -\mu_2^1 & \mathbf{0}_{3 \times 1} & \dots & \mu_2^N & \dots & \dots & \mathbf{0}_{3 \times 1} \\ \dots & \dots & \dots & \dots & \dots & \dots & \dots & \dots & \dots & \dots & \dots & \dots & \dots & \dots \\ \dots & \dots & \dots & \dots & \dots & \dots & \dots & \dots & \dots & \dots & \dots & \dots & \dots & \dots \\ \mathbf{T}_M & \mathbf{K}_M & \Gamma_M & \mu_1^1 & \mathbf{0}_{3 \times 1} & \dots & \dots & \dots & \dots & \dots & \mathbf{0}_{3 \times 1} & -\mu_M^1 & \dots & \mathbf{0}_{3 \times 1} \\ \mathbf{0}_{3 \times 3} & \mathbf{0}_{3 \times 3} & \mathbf{0}_{3 \times 3} & \mu_1^1 & -\mu_1^2 & \dots & \dots & \dots & \dots & \dots & \mathbf{0}_{3 \times 1} & -\mu_M^1 & \mu_M^2 & \mathbf{0}_{3 \times 1} \\ \dots & \dots & \dots & \dots & \dots & \dots & \dots & \dots & \dots & \dots & \dots & \dots & \dots & \dots \\ \mathbf{0}_{3 \times 3} & \mathbf{0}_{3 \times 3} & \mathbf{0}_{3 \times 3} & \mu_1^1 & \mathbf{0}_{3 \times 1} & \dots & -\mu_1^N & \mathbf{0}_{3 \times 1} & \dots & \dots & \mathbf{0}_{3 \times 1} & -\mu_M^1 & \dots & \mu_M^N \end{bmatrix} \quad (23)$$

其中  $\mathbf{T}_j \triangleq -\frac{t_j^2}{2}\mathbf{I}_3$  和  $\mathbf{K}_j \triangleq -t_j\mathbf{I}_3$ 。

根据以上定义, 对于  $M$  帧图像和  $N$  个地图点的几何关系式 (19) 可表示为

$$\Xi\mathbf{X} = \mathbf{S} \quad (24)$$

假设重力的大小已知, 即  $|\mathbf{G}| = g$ , 则对方程组 (24) 添加如下约束,

$$|\Pi\mathbf{X}|^2 = g^2 \quad (25)$$

其中  $\Pi \triangleq [\mathbf{I}_3, \mathbf{0}_3, \dots, \mathbf{0}_3]$ 。

至此, VI-SLAM 系统初始化的闭式可解性分析, 将基于方程组 (24) 和 (25)。

## 2 闭式解方程

## 3 可解性分析: Unbiased Case

### 3.1 Planar Case

### 3.2 Linear Case

### 3.3 图像帧数小于等于 2

### 3.4 图像帧数等于 3

### 3.5 图像帧数大于等于 4

### 3.6 Constant Acceleration

## 4 可解性分析: Biased Case

### 4.1 图像帧数小于等于 3

### 4.2 图像帧数等于 4

### 4.3 图像帧数大于等于 5

## 5 Gyroscope Bias 估计

## 6 Modified MK 闭式解

## References

- [1] <https://www.zhihu.com/question/22983179>
- [2] Meyer CD (2000) Matrix Analysis and Applied Linear Algebra. Philadelphia, PA: SIAM.
- [3] Hesch J A, Kottas D G, Bowman S L, et al. Camera-IMU-based localization: Observability analysis and consistency improvement[J]. The International Journal of Robotics Research, 2014, 33(1): 182-201.
- [4] Huai Z, Huang G. Robocentric visual-inertial odometry[C]//2018 IEEE/RSJ International Conference on Intelligent Robots and Systems (IROS). IEEE, 2018: 6319-6326.